

$$\bar{y} = f(\bar{x}_1, \bar{x}_2)$$

$$K_1 = \left. \frac{\partial f}{\partial x_1} \right|_{x_1 = \bar{x}_1, x_2 = \bar{x}_2}$$

$$K_2 = \left. \frac{\partial f}{\partial x_2} \right|_{x_1 = \bar{x}_1, x_2 = \bar{x}_2}$$

A técnica de linearização apresentada aqui é válida nas proximidades das condições de operação. No entanto, se as condições de operação variam muito, essas equações linearizadas não são adequadas, e as equações não lineares devem ser utilizadas. É importante lembrar que um modelo matemático particular, utilizado para fins de análise e projeto, pode representar com precisão a dinâmica de um sistema real para certas condições de operação, mas pode não ser preciso para outras condições de operação.

### Exemplo 2.5 Linearize a equação não linear

$$z = xy$$

na região  $5 \leq x \leq 7$ ,  $10 \leq y \leq 12$ . Encontre o erro para o caso em que a equação linearizada seja utilizada para calcular o valor de  $z$  quando  $x = 5$  e  $y = 10$ .

Como a região considerada é dada por  $5 \leq x \leq 7$ ,  $10 \leq y \leq 12$ , selecione  $\bar{x} = 6$ ,  $\bar{y} = 11$ . Então,  $\bar{z} = \bar{x}\bar{y} = 66$ . Vamos obter a equação linearizada para a equação não linear nas proximidades do ponto  $\bar{x} = 6$ ,  $\bar{y} = 11$ .

Expandindo a equação não linear em uma série de Taylor próxima do ponto  $x = \bar{x}$ ,  $y = \bar{y}$  e desprezando os termos de ordem mais elevada, temos:

$$z - \bar{z} = a(x - \bar{x}) + b(y - \bar{y})$$

onde

$$a = \left. \frac{\partial(xy)}{\partial x} \right|_{x=\bar{x}, y=\bar{y}} = \bar{y} = 11$$

$$b = \left. \frac{\partial(xy)}{\partial y} \right|_{x=\bar{x}, y=\bar{y}} = \bar{x} = 6$$

Então, a equação linearizada é:

$$z - 66 = 11(x - 6) + 6(y - 11)$$

ou

$$z = 11x + 6y - 66$$

Quando  $x = 5$ ,  $y = 10$ , o valor de  $z$  dado pela equação linearizada é:

$$z = 11x + 6y - 66 = 55 + 60 - 66 = 49$$

O valor exato de  $z$  é  $z = xy = 50$ . Assim, o erro é  $50 - 49 = 1$ . Em termos de porcentagem, o erro é de 2%.

## | Exemplos de problemas com soluções

### A.2.1 Simplifique o diagrama de blocos da Figura 2.17.

**Solução.** Inicialmente, mova o ponto de ramificação que contém  $H_1$  para fora da malha que contém  $H_2$ , como mostra a Figura 2.18(a). Em seguida, a eliminação de duas malhas resulta na Figura 2.18(b). Reduzindo dois blocos a um único, teremos a Figura 2.18(c).

**FIGURA 2.17**

Diagrama de blocos de um sistema.

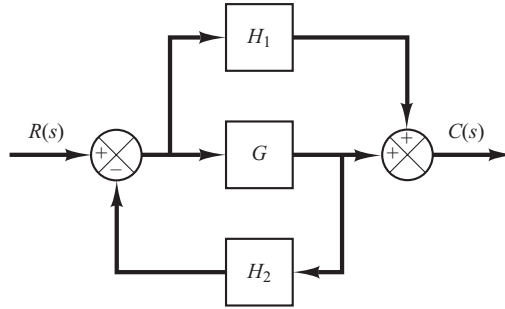
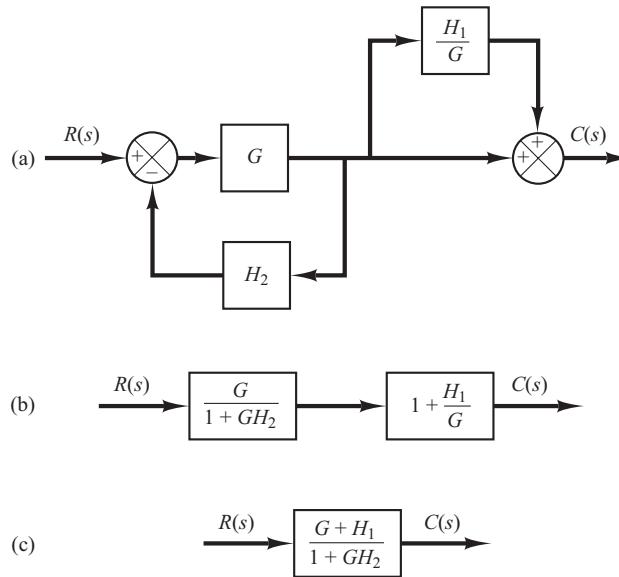
**FIGURA 2.18**

Diagrama de blocos simplificado para o sistema mostrado na Figura 2.17.



**A.2.2** Simplifique o diagrama de blocos da Figura 2.19. Obtenha a função de transferência relacionando  $C(s)$  e  $R(s)$ .

**Solução.** O diagrama de blocos da Figura 2.19 pode ser modificado como indica a Figura 2.20(a). Eliminando o ramo direto menor, obtemos a Figura 2.20(b), que pode ser reduzida à Figura 2.20(c). A função de transferência  $C(s)/R(s)$  é, então, dada por:

$$\frac{C(s)}{R(s)} = G_1 G_2 + G_2 + 1$$

O mesmo resultado pode ser obtido procedendo-se como se segue: sendo o sinal  $X(s)$  a soma de dois sinais,  $G_1 R(s)$  e  $R(s)$ , temos:

$$X(s) = G_1 R(s) + R(s)$$

O sinal de saída  $C(s)$  é a soma de  $G_2 X(s)$  e  $R(s)$ . Então,

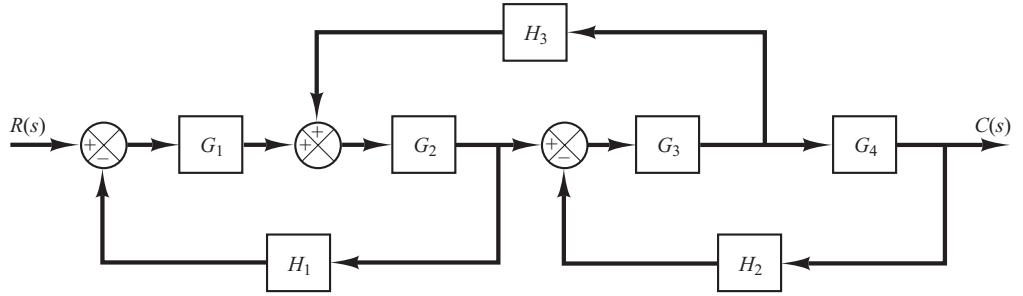
$$C(s) = G_2 X(s) + R(s) = G_2 [G_1 R(s) + R(s)] + R(s)$$

E, assim, obtemos o mesmo resultado anterior:

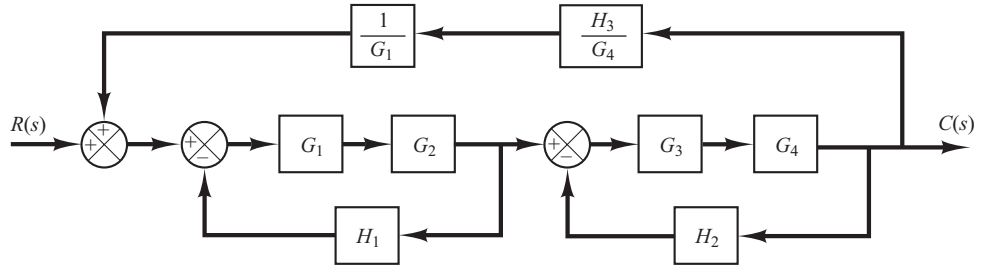
$$\frac{C(s)}{R(s)} = G_1 G_2 + G_2 + 1$$

**FIGURA 2.21**

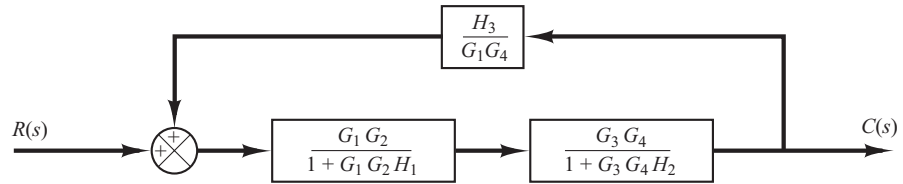
Diagrama de blocos de um sistema.

**FIGURA 2.22**

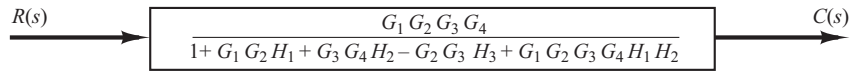
Sucessivas reduções do diagrama de blocos mostrado na Figura 2.21.



(a)



(b)



(c)

**A.2.4** Obtenha as funções de transferência  $C(s)/R(s)$  e  $C(s)/D(s)$  do sistema indicado na Figura 2.23.

**Solução.** A partir da Figura 2.23, temos:

$$U(s) = G_f R(s) + G_c E(s) \quad (2.47)$$

$$C(s) = G_p [D(s) + G_1 U(s)] \quad (2.48)$$

$$E(s) = R(s) - H C(s) \quad (2.49)$$

Substituindo a Equação 2.47 na Equação 2.48, obtemos:

$$C(s) = G_p D(s) + G_1 G_p [G_f R(s) + G_c E(s)] \quad (2.50)$$

Substituindo a Equação 2.49 na Equação 2.50, obtemos:

$$C(s) = G_p D(s) + G_1 G_p \{G_f R(s) + G_c [R(s) - H C(s)]\}$$

Solucionando essa última equação para  $C(s)$ , obtemos:

$$C(s) + G_1 G_p G_c H C(s) = G_p D(s) + G_1 G_p (G_f + G_c) R(s)$$

Então,

$$C(s) = \frac{G_p D(s) + G_1 G_p (G_f + G_c) R(s)}{1 + G_1 G_p G_c H} \quad (2.51)$$

Note que a Equação 2.51 fornece a resposta  $C(s)$  quando ambas as entradas, a de referência,  $R(s)$ , e a de distúrbio,  $D(s)$ , estão presentes.

Para determinar a função de transferência  $C(s)/R(s)$ , fazemos  $D(s) = 0$  na Equação 2.51. Assim, obtemos:

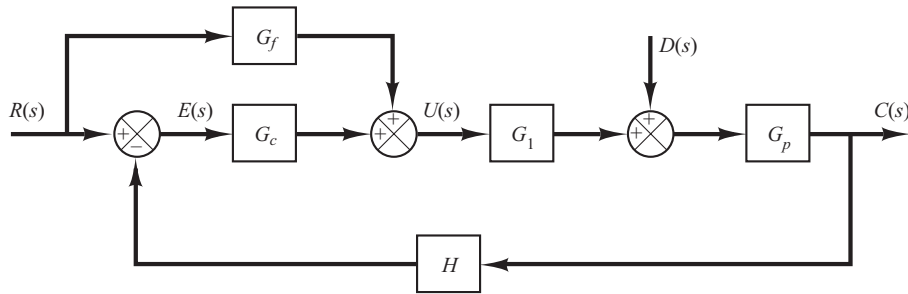
$$\frac{C(s)}{R(s)} = \frac{G_1 G_p (G_f + G_c)}{1 + G_1 G_p G_c H}$$

Da mesma maneira, para determinar a função de transferência  $C(s)/D(s)$ , fazemos  $R(s) = 0$  na Equação 2.51. Assim,  $C(s)/D(s)$  pode ser dado por:

$$\frac{C(s)}{D(s)} = \frac{G_p}{1 + G_1 G_p G_c H}$$

**FIGURA 2.23**

Sistema de controle com entrada de referência e entrada de distúrbio.



**A.2.5** A Figura 2.24 mostra um sistema com duas entradas e duas saídas. Determine  $C_1(s)/R_1(s)$ ,  $C_1(s)/R_2(s)$ ,  $C_2(s)/R_1(s)$  e  $C_2(s)/R_2(s)$ . (Ao determinar as saídas correspondentes a  $R_1(s)$ , considere  $R_2(s) = 0$  e vice-versa.)

**Solução.** A partir da figura, obtemos:

$$C_1 = G_1(R_1 - G_3 C_2) \quad (2.52)$$

$$C_2 = G_4(R_2 - G_2 C_1) \quad (2.53)$$

Substituindo a Equação 2.53 na Equação 2.52, obtemos:

$$C_1 = G_1[R_1 - G_3 G_4(R_2 - G_2 C_1)] \quad (2.54)$$

Substituindo a Equação 2.52 na Equação 2.53, temos:

$$C_2 = G_4[R_2 - G_2 G_1(R_1 - G_3 C_2)] \quad (2.55)$$

Resolvendo a Equação 2.54 para obter  $C_1$ , o resultado é:

$$C_1 = \frac{G_1 R_1 - G_1 G_3 G_4 R_2}{1 - G_1 G_2 G_3 G_4} \quad (2.56)$$

Resolvendo a Equação 2.55 para obter  $C_2$ , temos:

$$C_2 = \frac{-G_1 G_2 G_4 R_1 + G_4 R_2}{1 - G_1 G_2 G_3 G_4} \quad (2.57)$$

As equações 2.56 e 2.57 podem ser combinadas para obtermos a matriz de transferência a seguir:

Assim, a aproximação linear da equação não linear dada, nas proximidades do ponto de operação, é:

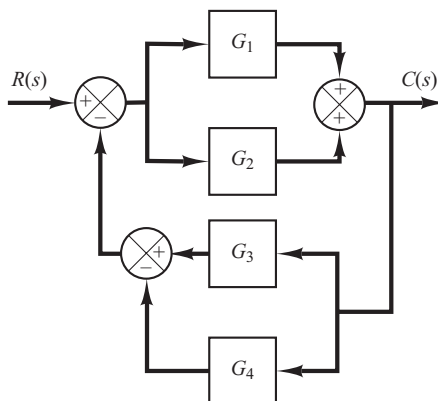
$$z - 30x - 72y + 243 = 0$$

## | Problemas

- B.2.1** Simplifique o diagrama de blocos mostrado na Figura 2.29 e obtenha a função de transferência de malha fechada  $C(s)/R(s)$ .

**FIGURA 2.29**

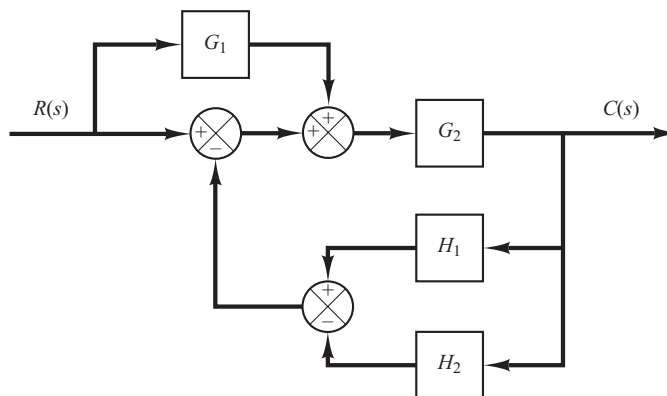
Diagrama de blocos de um sistema.



- B.2.2** Simplifique o diagrama de blocos exposto na Figura 2.30 e obtenha a função de transferência de malha fechada  $C(s)/R(s)$ .

**FIGURA 2.30**

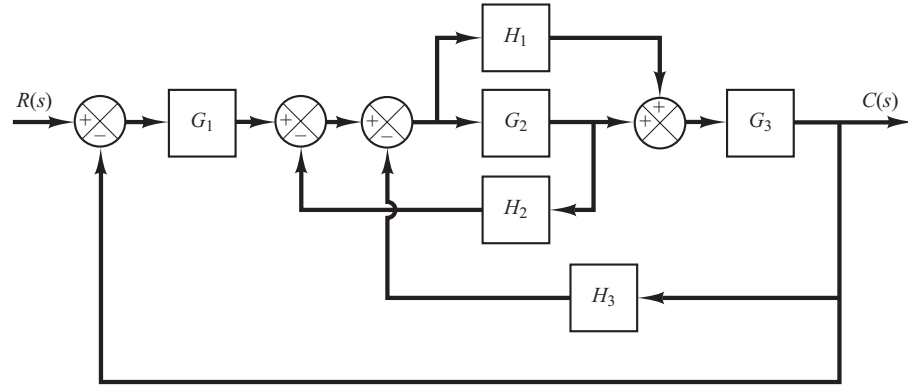
Diagrama de blocos de um sistema.



**B.2.3** Simplifique o diagrama de blocos mostrado na Figura 2.31 e obtenha a função de transferência de malha fechada  $C(s)/R(s)$ .

**FIGURA 2.31**

Diagrama de blocos de um sistema.



**B.2.4** Considere os controladores automáticos industriais cujas ações de controle são proporcionais, integrais, proporcionais-integrais, proporcionais-derivativas e proporcionais-integrais-derivativas. As funções de transferência desses controladores podem ser dadas, respectivamente, por:

$$\frac{U(s)}{E(s)} = K_p$$

$$\frac{U(s)}{E(s)} = \frac{K_i}{s}$$

$$\frac{U(s)}{E(s)} = K_p \left( 1 + \frac{1}{T_i s} \right)$$

$$\frac{U(s)}{E(s)} = K_p (1 + T_d s)$$

$$\frac{U(s)}{E(s)} = K_p \left( 1 + \frac{1}{T_i s} + T_d s \right)$$

onde  $U(s)$  é a transformada de Laplace de  $u(t)$ , a saída do controlador, e  $E(s)$  é a transformada de Laplace de  $e(t)$ , o sinal de erro atuante. Esboce as curvas de  $u(t)$  versus  $t$  para cada um dos cinco tipos de controladores quando o sinal de erro atuante for:

(a)  $e(t)$  = função degrau unitário

(b)  $e(t)$  = função rampa unitária

No esboço das curvas, suponha que os valores numéricos de  $K_p$ ,  $K_i$  e  $T_i$  sejam dados como:

$K_p$  = ganho proporcional = 4

$K_i$  = ganho integral = 2

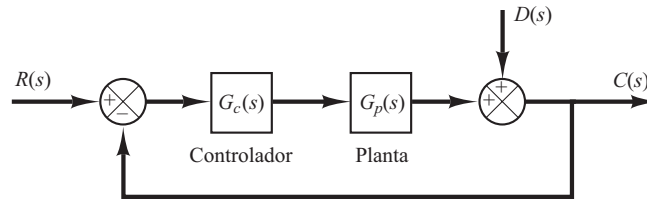
$T_i$  = tempo integrativo = 2 s

$T_d$  = tempo derivativo = 0,8 s

**B.2.5** A Figura 2.32 mostra um sistema de malha fechada com uma entrada de referência e um distúrbio de entrada. Obtenha a expressão para a saída  $C(s)$  quando tanto a entrada de referência como a de distúrbio estiverem presentes.

**FIGURA 2.32**

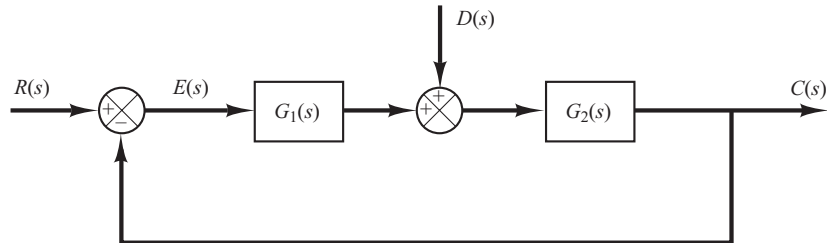
Sistema de malha fechada.



- B.2.6** Considere o sistema mostrado na Figura 2.33. Deduza a expressão para os erros de estado estacionário quando tanto a entrada de referência  $R(s)$  como a de distúrbio  $D(s)$  estiverem presentes.

**FIGURA 2.33**

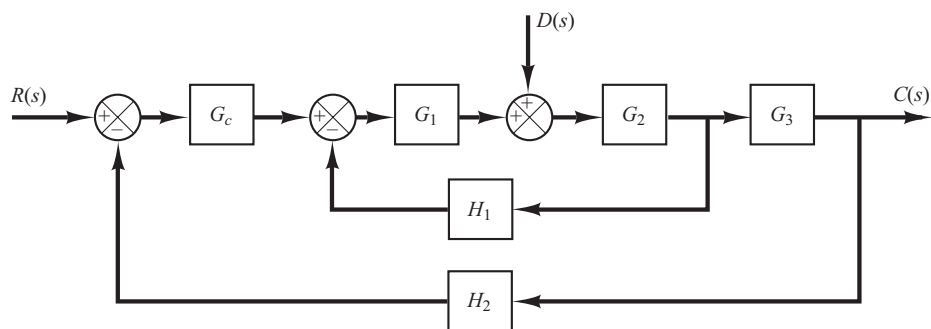
Sistema de controle.



- B.2.7** Obtenha as funções de transferência  $C(s)/R(s)$  e  $C(s)/D(s)$  do sistema apresentado na Figura 2.34.

**FIGURA 2.34**

Sistema de controle.



- B.2.8** Obtenha a representação no espaço de estados do sistema mostrado na Figura 2.35.

**FIGURA 2.35**

Sistema de controle.

